

УДК 550.383

ОЦЕНКА ТУРБУЛЕНТНОЙ ВЯЗКОСТИ ЖИДКОГО ЯДРА ЗЕМЛИ

© 2005 г. М. Ю. Решетняк

Представлено академиком В.Н. Страховым 05.05.2004 г.

Поступило 05.05.2004 г.

В последнее десятилетие были достигнуты большие успехи в области моделирования процессов динамо [1]. В настоящее время крупномасштабные модели динамо в состоянии “качественно” воспроизводить многие явления: инверсии магнитного поля, спектр вариаций магнитного поля, восточное направление вращения твердого ядра Земли [1, 2]. На повестку дня встал детальный количественный анализ используемых параметров и не менее детальный анализ получаемых результатов. Поскольку на поверхности Земли для наблюдателя доступна лишь крупномасштабная часть спектра магнитного поля (с пространственным разрешением не более 10–14 гармоник в разложении по сферическим функциям и вариации с временными периодами не менее 10 лет), а спектр поля скорости, температуры и магнитного поля может убывать существенно медленнее, чем колмогоровский спектр турбулентности, исследование поведения системы в мелкомасштабной части спектра, также недоступной прямому численному моделированию, является одной из наиболее актуальных задач геодинamo.

Наибольшие трудности в моделировании связаны с решением задачи тепловой конвекции, поскольку диапазон пространственно-временных масштабов поля скорости и температуры на много порядков превосходит протяженность спектра магнитного поля в жидком ядре, что следует из соотношения Re , $Re \gg R_m$, где число Рейнольдса, Пекле и магнитное число Рейнольдса в жидком ядре Земли: $Re \sim 10^9$, $Pe \sim 10^8$, $R_m \sim 10^3$ [3]. Из асимптотического анализа моделей Буссинеска на пороге конвекции известно [4–6], что быстрое вращение Земли приводит к появлению вытянутых в направлении оси вращения структур (колонок), поперечный масштаб которых уже на пороге тепловой конвекции много меньше масштаба типично используемых сеток. Последнее приводит к появлению численных неустойчивостей. В предлагаемой работе идеи асимптотического анализа использова-

ны при создании каскадных моделей тепловой турбулентности. В работе приведены спектральные характеристики турбулентных полей и оценки значений подсеточной вязкости, используемой в моделях крупномасштабной тепловой конвекции.

Рассмотрим уравнения тепловой конвекции для подогреваемой снизу несжимаемой жидкости ($\nabla \cdot \mathbf{V} = 0$) в приближении Буссинеска во вращающейся вокруг оси z с угловой скоростью Ω декартовой системе координат. Введя следующие единицы измерения для скорости \mathbf{V} , времени t , давления $P\left(\frac{\kappa}{L}, \frac{L^2}{\kappa}\right)$ и $2\Omega\rho\kappa$, где L – единица длины, κ – коэффициент молекулярной теплопроводности, ρ – плотность вещества, запишем уравнения в виде

$$\begin{aligned} EPr^{-1} \left[\frac{\partial \mathbf{V}}{\partial t} + (\mathbf{V} \cdot \nabla) \mathbf{V} \right] &= \\ &= -\nabla P - \mathbf{1}_z \times \mathbf{V} + RaTz\mathbf{1}_z + E\Delta \mathbf{V}, \quad (1) \\ \frac{\partial T}{\partial t} + (\mathbf{V} \cdot \nabla)(T + T_0) &= \Delta T, \end{aligned}$$

где T – возмущение температуры относительно равновесного распределения температуры $T_0(z) = 1 - z$. Безразмерные числа Прандтля, Экмана и Рэлея заданы в виде $Pr = \frac{\kappa}{\nu}$, $E = \frac{\nu}{2\Omega L^2}$, $Ra =$

$\frac{\alpha g_0 \delta T L}{2\Omega \kappa}$, где α – коэффициент объемного расширения, g – ускорение свободного падения, δT – единица температуры. Следуя [4], исключим давление из (1), применив операции ротор и ротор–ротор к уравнению Навье–Стокса и отбросив нелинейные члены, малые на пороге генерации, получим

$$\begin{aligned} EPr^{-1} \frac{\partial \nabla^2 V_z}{\partial t} &= E\nabla^4 V_z + Ra\Delta_1 T - \frac{\partial \Xi}{\partial z}, \\ EPr^{-1} \frac{\partial \Xi}{\partial t} &= E\nabla^2 \Xi + \frac{\partial V_z}{\partial z}, \quad (2) \end{aligned}$$

$$\frac{\partial T}{\partial t} + (\mathbf{V} \cdot \nabla) T_0 = \Delta T,$$

где $\Xi = \text{rot}_z \mathbf{V}$, $\Delta_1 = \frac{\partial}{\partial x^2} + \frac{\partial}{\partial y^2}$.

Подстановка $(V_z, \Xi, T) = (v_z, \xi, \theta) e^{i(\omega t + k_x x + k_y y + k_z z)}$ в (2) приводит к

$$\begin{aligned} -E \text{Pr}^{-1} i \omega k^2 v_z &= E k^4 v_z - \text{Ra} \theta k^2 - i \xi, \\ E (\text{Pr}^{-1} i \omega + k^2) &= i v_z, \\ (i \omega + k^2) \theta &= v_z, \end{aligned} \quad (3)$$

где $\sqrt{2} k = k_x = k_y \gg k_z \sim 1$, а из условия бездивергентности $v_i k_i = 0$ следует, что $v_x \approx -v_y$. В матричной форме (3) имеет вид $\mathbf{A} \cdot (v_z, \xi, \theta)^T = 0$, где

$$\mathbf{A} = \begin{pmatrix} -E(i \text{Pr}^{-1} \omega + k^2) & \frac{i}{k^2} & \text{Ra} \\ -i & E(i \text{Pr}^{-1} \omega + k^2) & 0 \\ -1 & 0 & i \omega + k^2 \end{pmatrix}. \quad (4)$$

Условие разрешимости ($\text{Det} \mathbf{A} = 0$) дает

$$\begin{aligned} \omega_{1,2,3} &= 0, \\ \pm \text{Pr}^{1/2} k^{-1} E^{-1} (-E \text{Ra} k^2 + 2E^2 k^6 + E^2 k^6 \text{Pr} + \text{Pr})^{1/2}, \\ \text{Ra}_1 &= \frac{E^2 k^6 + 1}{E k^2}. \end{aligned}$$

Из условия $\frac{d \text{Ra}_1}{d k} = 0$ имеем

$$k_1^{\text{cr}} = 2^{-1/6} E^{-1/3}, \quad \text{Ra}_1^{\text{cr}} = 3 \cdot 2^{-2/3} E^{-1/3}.$$

Аналогично

$$\begin{aligned} \text{Ra}_2 &= 2 \frac{E^2 k^6 (\text{Pr} + 1)^2 + \text{Pr}^2}{E k^2 (\text{Pr} + 1)}, \quad k_2^{\text{cr}} = 2^{-1/6} \left(\frac{\text{Pr}}{\text{Pr} + 1} \right)^{1/3} E^{-1/3}, \\ \text{Ra}_2^{\text{cr}} &= 3 \cdot 2^{1/3} \text{Pr}^{4/3} (\text{Pr} + 1)^{-1/3} E^{-1/3}, \\ \omega_2^{\text{cr}} &= 2^{-1/3} \left(\frac{\text{Pr}}{\text{Pr} + 1} \right)^{2/3} (2 - 3 \text{Pr}^2)^{1/2} E^{-2/3} \end{aligned}$$

(условие $\frac{d \text{Ra}_3}{d k} = 0$ дает те же результаты). Как

видно из приведенного анализа, при $E \rightarrow 0$ (в ядре Земли $E^{\text{Earth}} \sim 10^{-14}$, $\text{Pr} \sim 10^{-1}$), на пороге генерации отношение продольного и поперечного масштабов составляет $\sim E^{-1/3}$, что является большой трудностью для прямого численного моделирования. Так, после исключения эффектов супервязкости в модели [7] удалось провести расчеты лишь для $E \sim 10^{-4}$. С другой стороны, для изучения процессов на малых масштабах могут быть использованы специальные модели турбу-

лентности, в частности, каскадные модели. Рассмотрим систему обыкновенных дифференциальных уравнений ($i = 0, 1, \dots, i_{\text{max}}, j = 0, 1, \dots, j_{\text{max}}$), являющуюся обобщением модели (2) на нелинейный случай, записанную в терминах каскадных моделей (см. обзор в [8]):

$$\begin{aligned} 2 \text{Pr}^{-1} E \frac{d u_{ij}}{dt} &= 2 \text{Pr}^{-1} E i \left[\varepsilon k_{xi} \left(u_{i+1j}^* u_{i+2j}^* - \frac{1}{4} u_{i-1j}^* u_{i+1j}^* - \right. \right. \\ &\quad \left. \left. - \frac{1}{8} u_{i-2j}^* u_{i-1j}^* \right) + k_{zj} \left(\frac{1}{2} u_{ij-1}^* w_{ij}^* + 2 u_{ij+1}^* w_{ij}^* \right) - \right. \\ &\quad \left. - \varepsilon k_{xi} \left(\frac{1}{2} w_{i-1j}^* w_{ij}^* + 2 w_{i+1j}^* w_{ij}^* \right) \right] - 2 E (k_{xi}^2 + k_{zj}^2) u_{ij} - \frac{u_{ij}}{k_{xi}}, \\ \text{Pr}^{-1} E \frac{d w_{ij}}{dt} &= \text{Pr}^{-1} E i \left[k_{zj} \left(w_{ij+1}^* w_{ij+2}^* - \frac{1}{4} w_{ij-1}^* w_{ij+1}^* - \right. \right. \\ &\quad \left. \left. - \frac{1}{8} w_{ij-2}^* w_{ij-1}^* \right) + 2 \varepsilon k_{xi} \left(\frac{1}{2} w_{i-1j}^* u_{ij}^* + 2 w_{i+1j}^* u_{ij}^* \right) - \right. \\ &\quad \left. - 2 k_{zj} \left(\frac{1}{2} u_{ij-1}^* w_{ij}^* + 2 u_{ij+1}^* w_{ij}^* \right) \right] - \\ &\quad - E (k_{xi}^2 + k_{zj}^2) w_{ij} - \frac{u_{ij}}{k_{xi}} + \text{Ra} \theta_{ij}, \end{aligned} \quad (5)$$

$$\begin{aligned} \frac{d \theta_{ij}}{dt} &= i k_{zj} \left(w_{ij+1}^* \theta_{ij+2}^* + w_{ij-1}^* \theta_{ij+1}^* - \frac{1}{2} w_{ij-2}^* \theta_{ij-1}^* + \right. \\ &\quad \left. + w_{ij+2}^* \theta_{ij+1}^* - \frac{1}{2} w_{ij+1}^* \theta_{ij-1}^* - \frac{1}{4} w_{ij-1}^* \theta_{ij-2}^* \right) - \\ &\quad - (k_{xi}^2 + k_{zj}^2) \theta_{ij} + w_{ij}, \end{aligned}$$

где (u_n, w_n) – x - и z -компоненты поля скорости, θ_n – температура в волновом пространстве (k_{xn}, k_{zn}) , причем $\xi = i \frac{u}{2k}$, звездочка – знак комплексного сопряжения, $k_{n+1} = 2k_n, k_0 = 1$. Здесь $\varepsilon \sim E^{1/3}$ при $u_{ij} k_{xi} \ll w_{ij} k_{zj}$ и $\varepsilon \sim 1$ в противном случае. Аппроксимация отдельных нелинейных членов использована в традиционной для каскадных моделей форме [3, 8–10].

Легко убедиться, что в пределе малых коэффициентов диффузии (и отсутствии силы Архимеда, $\text{Ra} = 0$) система (5) сохраняет кинетическую $E_k = \sum_{ij} 2 |u_{ij}|^2 + |w_{ij}|^2$ и тепловую $E_H = \sum_{ij} |\theta_{ij}|^2$ энергии.

Поскольку даже для каскадных моделей турбулентности моделирование процессов с $E^{\text{Earth}} = 10^{-14}$ является сложной задачей, в работе рассмотрен ряд режимов с $E > E^{\text{Earth}}$ и характерным для Земли отношением числа Рэлея к его крити-

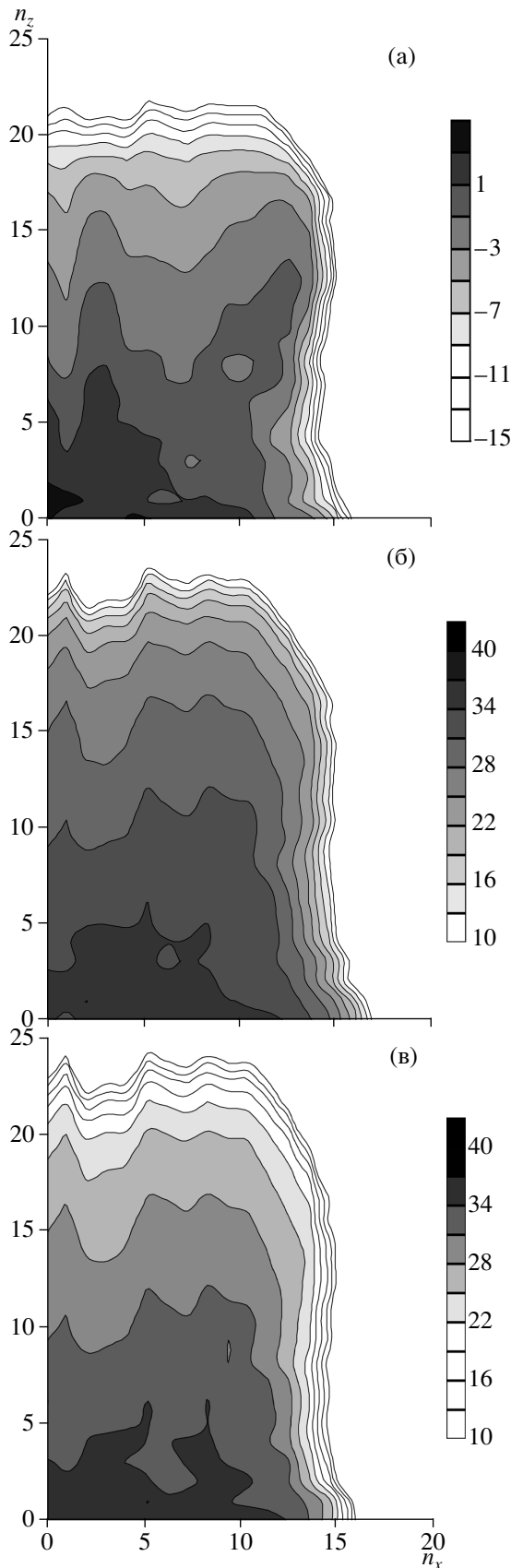


Рис. 1. Двумерные спектры компонент поля скорости $\ln(u_{ij}u_{ij}^*)$ (а), $\ln(w_{ij}w_{ij}^*)$ (б) и температуры $\ln(\theta_{ij}\theta_{ij}^*)$ (в).

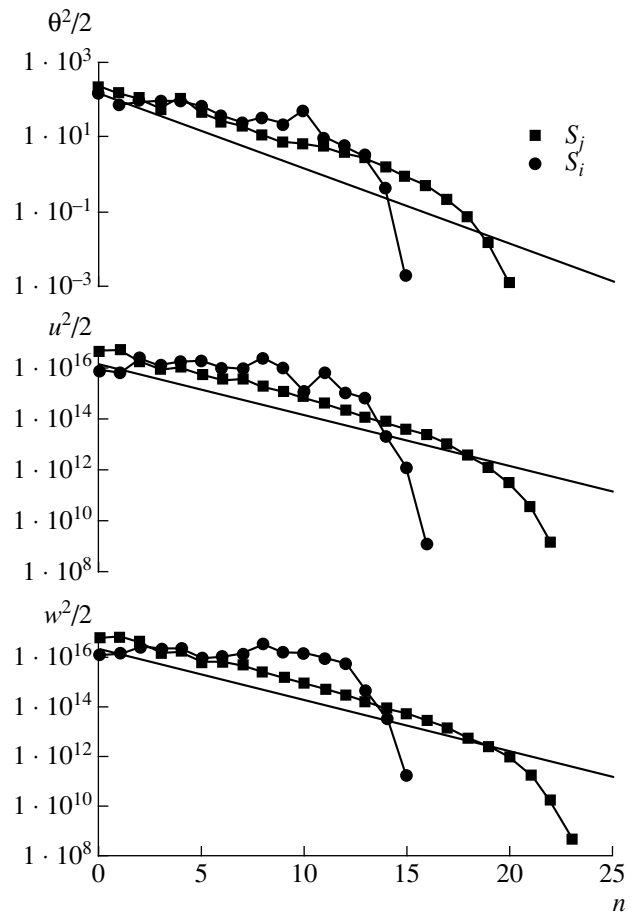


Рис. 2. Продольные (S_j) и поперечные (S_i) спектры компонент поля скорости (u , w) и температуры θ . Прямая линия соответствует спектру Колмогорова “ $-5/3$ ”.

ческому значению $Ra^{cr}(E)$: $R = \frac{Ra}{Ra^{cr}} \sim 500$ [11] (т.е.

$Pr = 0.1$, $Ra = 1.8 \cdot 10^5$, $n_x^{cr} = \lg_2 k_{xn}^{cr} = 10$). На рис. 1 представлены спектры полей u , w , θ для $E = 10^{-10}$. Спектры вытянуты в продольном (вдоль оси z) направлении, что связано с блокированием переноса энергии по спектру вращением в перпендикулярном направлении. В то же время в области максимума для спектров характерно существование интервала поперечных волновых чисел $0 \lesssim n_x \lesssim n_E$, $n_E = E^{-1/3} \approx 10$, на котором спектр постоянен (расчеты для $E = 10^{-6} - 10^{-9}$ дали аналогичные результаты). Эта особенность спектров говорит о сохранении свойств линейной системы (2), для которой наиболее быстро растущая мода соответствует $\mathbf{n} = (n_x, n_y, n_x = n_E, n_y \sim 1$. На рис. 2 представлены одномерные поперечные $S_i(n_x)$ и продольные $S_j(n_z)$ спектры, полученные суммированием исходных двумерных спектров S_{ij} по одному из волновых чисел. В отличие от продольного спектра $S_j(n_z)$,

имеющего колмогоровское распределение, амплитуда поперечного спектра $S_i(n_x)$ на малых масштабах $\frac{1}{k_x} \sim l_E \left(l_E = \frac{1}{k_E} \right)$ сравнима со значениями

спектра на больших масштабах $\frac{1}{k_x} \sim 1$. Таким образом, оценив кинетическую энергию движений на больших масштабах из магнитных измерений (например, из скорости западного дрейфа магнитного поля или близких по порядку величины вариаций векового поля $\sim 0.2^\circ/\text{год}$), можно оценить и величину диссипации энергии, сопоставив ее с масштабом l_E , недоступны как для наблюдений, так и для прямого моделирования системы (1).

Поскольку в z -направлении спектр колмогоровский, то основной вклад в диссипацию будет связан с градиентами полей в перпендикулярных направлениях. Не вдаваясь в тензорную структуру коэффициента турбулентной вязкости ν^t (в общем случае ν^t тензор 4-го ранга [12]), оценим, каким должен быть по порядку величины ν^t , чтобы система (1) давала самосогласованное крупномасштабное решение. В качестве нулевого приближения, рассмотрим изотропную модель Смагоринского [13], согласно которой

$$\nu_0^t = G_S \nu_l l, \quad \nu_l = l |G_0|, \quad |G_0| = \sqrt{G_{ij} G_{ij}},$$

где $G_{ij} = \frac{1}{2} \left(\frac{\partial V_i}{\partial x_j} + \frac{\partial V_j}{\partial x_i} \right)$ – тензор вязких напряжений, ν_l – амплитуда скорости на масштабе сетки l , $C_S = 0.1-0.2$ – константа Смагоринского (здесь ν_l и l записаны в размерном виде). Данная модель хорошо описывает колмогоровскую турбулентность с $\nu_n \sim \nu_l k_n^{-1/3}$ и после приведения к безразмерному виду дает

$$E_0^t \sim E(1 + \text{Pr}^{-1} \nu_n k_n^{-1}) \sim E(1 + \text{Pr}^{-1} \nu_l k_n^{-4/3}).$$

В направлении z для используемых режимов с $R = 500$ распределение Колмогорова остается в силе, поэтому мы сохраним модель Смагоринского для продольного направления. Для поперечного направления в интервале $n_l \leq n_x \leq n_E$ имеем $(u, w) = \text{const}$, где $k_l \sim \frac{1}{l}$. Тогда $|G| \sim E^{-1/3} |G_0|$. Запишем диссипационный член так, чтобы E^t стоял перед оператором Лапласа: $E_i^t \nabla_i \nabla_i$, где $E^t = (E_x^t, E_z^t)$ уже различно для направлений x и z : $E^t = (E \nu_0^t, E^{2/3} \nu_0^t)^*$, а ν_0^t записано в безразмерном виде $\nu_0^t = C_S \text{Pr}^{-1} \nu_l l$. От-

* Вообще говоря, турбулентная диффузия в направлении оси z может быть и несколько выше (см. рис. 1), но все же существенно меньше, чем в перпендикулярном направлении.

метим, что в сферической системе координат для всех трех направлений (r, ϑ, φ) (с точностью до коэффициентов, зависящих от ϑ) $E^t \sim E^{2/3} \nu_0^t$, что было использовано в [14] и позволило провести вычисления в крупномасштабной модели тепловой конвекции для $E = 10^{14}$. Величина ν_0^t зависит как от интенсивности конвекции R , так и от шага используемой сетки l . На пороге конвекции ($R = 1$) и $l \ll l_E$ турбулентная вязкость сглаживает колоноидальные структуры, предсказанные линейным анализом [4, 5]. Нижняя оценка эффективного числа Экмана для Земли в модели с сеткой $l \sim 10^{-2}$, позволяющей разрешить режимы с числом Экмана $E \sim 10^{-4}$, дает $E^t \approx (10^{-4}, 10^{-9})$. Для аппроксимации турбулентного коэффициента теплопроводности κ^t в моделях Буссинеска для жидких металлов обычно используют предположение, что турбу-

лентное число Прандтля $\text{Pr}^t = \frac{\nu^t}{\kappa^t} \sim 1$. Тогда коэффициент перед оператором Лапласа в уравнении теплопроводности примет вид $\text{Pr}(E^{-1/3} \nu_0^t, \nu_0^t)$.

Ранее в модели Смагоринского мы молчаливо полагали справедливость гипотезы Прандтля о длине перемешивания: $\nu^t \sim \nu_l l$. Эту оценку легко получить из следующего безразмерного анализа. Оценим диссипационный масштаб Колмогорова $\sim k_d^{-1}$ из баланса инерционного и диффузионного членов в уравнении Навье–Стокса: $\text{Pr}^{-1} \nu_d^2 k_d^2 \sim k_d^2 \nu_s$ или $\nu_d \sim \text{Pr} k_d$. Считая, что $\nu_d = \nu_l \left(\frac{k_d}{k_l} \right)^{-1/3}$, получим $k_d = (\text{Pr}^{-1} \nu_l k_l^{1/3})^{3/4}$. Скорость энергии диссипации

$$\epsilon = \text{Pr}^{-1} \nu_d^2 k_d^2 = \text{Pr}^2 k_d^4 = \text{Pr}^{-1} \nu_l^3 k_l,$$

$$\nu^t = (\epsilon k_l^{-4})^{1/3} = \text{Pr}^{-1/3} \nu_l l.$$

Пусть для модели колонок на интервале волновых чисел (k_{xE}, k_{xd}) имеется спектр Колмогорова. Тогда получаем уже знакомый нам (с точностью до коэффициента, зависящего от Pr) результат:

$$\epsilon_E = \text{Pr}^{-1} \nu_E^3 k_E, \quad \nu_l^t = (\epsilon_E k_l^{-4})^{1/3} = \text{Pr}^{-1/3} E^{-1/3} \nu_l l,$$

где использовано $\nu_E \sim \nu_l$.

В заключение отметим, что учет магнитного поля вносит дополнительную анизотропию [15], что может существенно изменить энергетический баланс системы. Однако для масштабов $l_E < l_{\text{hydr}} < l_m \sim R_m^{-3/4}$, влияние магнитного поля будет пренебрежимо мало и диссипация энергии будет определяться рассмотренной выше моделью.

Работа выполнена при поддержке Российского фонда фундаментальных исследований (грант 03-05-64074) и фонда INTAS (грант 03-51-5807).

СПИСОК ЛИТЕРАТУРЫ

1. *Kono M., Roberts, P.* // *Rev. Geophys.* 2002. V. 40. P. B1–B46.
2. *Решетняк М.Ю.* // *ДАН.* 2001. Т. 380. № 5. С. 15–19.
3. *Фрик П.Г., Решетняк М.Ю., Соколов Д.Д.* // *ДАН.* 2002. V. 387. № 2. С. 253–257.
4. *Roberts P.H.* // *Astrophys. J.* 1965. V. 141. P. 240–250.
5. *Busse F.H.* // *J. Fluid Mech.* 1970. V. 44. P. 441–460.
6. *Boubnov B.M., Golitsyn G.S.* *Convection in Rotating Fluids.* L.: Kluwer Acad. Publ., 1995. P. 231.
7. *Glatzmaier G.A., Roberts P.H.* // *Nature.* 1995. V. 377. P. 203–209.
8. *Bohr T., Jensen M., Paladin G., Vulpiani A.* *Dynamical Systems Approach to Turbulence.* Cambridge: Cambridge Univ. Press, 1998. P. 373.
9. *Гледзер Е.Б.* // *ДАН.* 1973. Т. 209. С. 1046–1048.
10. *Ложкин С.А., Фрик П.Г.* // *Изв. РАН. МЖГ.* 1998. V. 6. С. 37–46.
11. *Jones C. A.* // *Phil. Trans. Roy Soc. London.* 2000. V. A 358. P. 873–897.
12. *Gaite J., Hochberg D., Molina-París C.* // *Phys. Rev. E.* 2003. V. 67. № 2. P. 026304–026310.
13. *Smagorinsky J.* // *Monthly Weather Rev.* 1963. V. 91. P. 99–164.
14. *Reshetnyak M., Steffan B.* // *Num. Meth. and Program.* 2004. V. 5. P. 41–45. <http://num-meth.srcc.msu.su>.
15. *Braginsky S.I., Meytlis V.P.* // *Geophys. and Astrophys. Fluid Dynam.* 1991. V. A 55. P. 71–87.